



# Investigating the effect of the Kushak fault function on the occurrence of landslides in Ali Abad village

Mohammad Sgandarpour<sup>1</sup>

1. Corresponding author, Instructor, Department of Geological Hazards Research, Natural Disasters Research Institute, Tehran, Iran. Email: [mskandarpoor@yahoo.com](mailto:mskandarpoor@yahoo.com)

## Article Info

**Article type:**  
Research Article

**Article history:**  
Received 7 May 2024  
Received in revised form 26 August 2024  
Accepted 21 September 2024  
Available online 30 September 2024

**Keywords:**  
Landslide,  
Ali Abad Village,  
Kushk Fault,  
Alamut

## ABSTRACT

**Objective:** Landslides are one of the most important geological hazards that cause significant damage to rural and urban settlements around the world every year. One of the factors influencing the occurrence of landslides is tectonic activities, including faulting, which, by creating weak surfaces in mountainous areas and on the slopes of highlands, reduces the resistance of the rock and soil mass and leads to slope movements.

Shear zone of the Kushak fault and on the material of an ancient landslide. The bedrock of the village consists of conglomerate and marl with Gypsum lenses. Approximately one year after the Rudbar-Manjil earthquake in 1369, gradual slope movements began to occur in the Aliabad village area. These movements were triggered by the depletion of water in the village's springs and old aqueduct. During rainy periods, the intensity of slope movement increased, leading to accompanying damage. The aim of this study is to investigate the correlation between the landslide in the village and the activity of the Kushak fault.

**Method:** Through examination of geological maps, satellite imagery, field observations, and geophysical studies, the location of the Kushak fault in Aliabad village was identified and confirmed. Along the Kushak fault, there are two springs and the main well of an old aqueduct, which experienced reduced flow or drying up following the 1369 Rudbar-Manjil earthquake.

**Results:** Further studies revealed the presence of another fault located 600 meters south of the Kushak fault, on the downstream slopes of the village, with a tensile mechanism. This fault is associated with numerous springs that also experienced decreased water supply following the 1369 earthquake.

**Conclusions:** Geoelectrical studies indicated soil saturation up to a depth of 25 meters, indicating that the alignment of the Kushak fault and the F2 fault (identified in the southern slopes of the village) coincided with the occurrence of the Rudbar-Manjil earthquake, leading to reduced spring outflow and subsequent slope saturation.

**Cite this article:** Skandarpour, M. (2024). Investigating the effect of the Kushak fault function on the occurrence of landslides in Ali Abad village *Housing and Rural Environment*, 43 (187), 3-16. <https://doi.org/10.22034/43.187.1>



© The Author(s).

DOI: <https://doi.org/10.22034/43.187.1>

Publisher: Natural Disasters Research Institute (NDRI).

## **Introduction**

Landslides are considered a significant natural hazard, causing substantial financial damage annually in terms of direct and indirect costs. Defined as the movement of rock, debris, or soil down a slope (Crowden, 1991), landslides can be triggered by various external factors such as heavy rainfall, earthquakes, changes in groundwater levels, storm waves, or erosion from rivers or channels. These factors can lead to a sudden increase in shear stress or a decrease in shear strength of slope materials. Moreover, human activities like deforestation, excavation for road construction, and urban development in unstable hillside areas due to population growth and urbanization have become key triggers for landslides.

Among the numerous factors influencing landslides, tectonic activities such as faulting play a significant role. Faulting creates weak zones in hillside slopes, directly and indirectly reducing the resistance of rock and soil masses, leading to slope movements in the direction of gravity. Therefore, in mountainous regions affected by intense faulting, occurrences of landslides and rockfalls are prevalent. The Alamut region, situated in the northeast of Qazvin province within the geotectonic framework of the Alborz region, is known for its active tectonic features. The region hosts several major faults with a history of earthquakes, along with numerous sub-faults influenced by the main faults in the area. The Aliabad village landslide is one of many slope instabilities that occurred within the shear zone of the Kushak fault, exhibiting a compressive mechanism.

The primary research question addresses whether the Aliabad village landslide occurred within the activity zone of the Kushak fault and if the fault's activity influenced the landslide in Aliabad village.

## **Method**

The research method in the present study is based on library studies and field observations and measurements. Firstly, the topography of the research area, the Kushk fault and the landslides around it, as well as the landslide of Aliabad village were comprehensively studied on satellite images (Google Earth), and the area of the landslide and the fault on the image of A satellite was separated and drawn. By studying the geological map of 1/100,000 sheets of Qazvin, the stratigraphic units of the bed and around the village on both sides of the shear zone of the fault were identified and evaluated in the field visit.

In the next step, geophysical studies were carried out in the slip area using the electrical resistance method with dipole array. Two profiles perpendicular to the slip direction to identify the lateral limits of the slip, the depth of the bedrock and the depth of the underground water level or water flow corridors and one profile in the slip direction and perpendicular to the Kushk fault were designed and taken to investigate and identify the Kushk fault. Local information from the records of landslide activity was also examined locally.

## **Results**

According to the geological map of Qazvin sheet, the Kushk fault is located in the middle of

Aliabad village and it places the conglomerate units (Mc) over the units consisting of marl, Conglomerate and sandstone sequences with interbeds of gypsum (Mmsc). In the field, the rupture of the Kushak fault by the thrusting of Quaternary sediments over the conglomerate unit to the north-west of the village and the location of the village's springs and old aqueduct, the sudden interruption of the conglomerate layer to the north-east of Ali Abad village and the northern boundary of the limestone outcrops can be traced and is estimated to be about 200 meters north of that shown on the geological map.

The results of the geoelectrical survey also confirm the field evidence. The fault trace in the geoelectrical profile, taken in the direction of the topographic dip, can be verified by changing the topographic dip of the bedrock. The said fault runs through the middle of the old landslide and the crest of the new landslide in the village of Aliabad. Numerous tensile cracks can be seen in this strike, indicating that the landslide is active and that the soil mass is moving in the direction of the topographic slope. The landslides have caused total and partial damage to residential units, tilting of electricity pylons, subsidence of the main village road and changes in the shape of wells. At a distance of 600 meters to the south of the Kushak Fault, another fault has been identified which has a different mechanism to the Kushak Fault and dips to the north. Along the identified fault, which has a tensile mechanism and along which the northern block has fallen, there are also many springs whose water flow is higher than that of the springs along the Kushak fault. The water supply of the springs, both along the Kushak fault and along the tensile fault identified in the southern slopes of the village, has decreased after the Rudbar-Manjil earthquake of 1369, and the old aqueduct of the village has also dried up. The current landslide activity began in the years following the 1369 Rudbar-Manjil earthquake.

### **Conclusions**

Following the verification of the location of the Kushak fault and the identification of another fault in the upstream and downstream areas of the residential area of Aliabad village, based on field evidence, satellite imagery and geoelectric studies, a significant reduction in the amount of water in the springs and the old aqueduct of the village, It is likely that the faults in the vicinity of the village have experienced minor movements due to the 1369 Rudbar-Manjil earthquake, causing blockage or narrowing of the drainage channels along these faults. This has led to saturation, increased pore water pressure and slope instability. A practical solution to stabilize the instability of the valley of Ali Abad village is to revive the old aqueduct of the village and construct deep drains perpendicular to the Kushak fault and the downstream fault of the village (F2) to prevent its saturation and instability by draining the water from the valley.

### **Author Contributions**

The author contributed equally to the conception of the article and to the drafting of the original and subsequent drafts.

**Data Availability Statement**

Not applicable

**Acknowledgements**

Not applicable

**Ethical considerations**

The author avoided data fabrication, falsification, plagiarism, and misconduct.

**Funding**

This research did not receive any specific grant from funding agencies in the public, commercial, or not-for-profit sectors.

**Conflict of interest**

The author declare no conflict of interest



## بررسی تأثیر عملکرد گسل کوشک بر رخداد زمین‌لغزش در روستای علی‌آباد

﴿ محمد اسگندرپور<sup>۱</sup>

۱. نویسنده مسئول، مریب، گروه مخاطرات زمین‌شناختی، پژوهشکده سوانح طبیعی، تهران، ایران. رابنامه: J. mskandarpoor@yahoo.com

### اطلاعات مقاله

نوع مقاله: هدف:

مقاله پژوهشی

زمین‌لغزش یکی از مخاطرات زمین‌شناختی مهم است که سالانه خسارت‌های قابل توجهی را در سکونتگاه‌های روستایی و شهری سرتاسر جهان به بار می‌آورد. یکی از عوامل تأثیرگذار در رخداد زمین‌لغزش فعالیت‌های زمین‌شناختی، از جمله گسل خودگی است که با ایجاد سطوح ضعف در مناطق کوهستانی و در دامنه ارتفاعات باعث کاهش مقاومت توده سنگ و خاک شده و منجر به حرکات دامنه‌ای می‌شود.

روستای علی‌آباد بر روی دامنه‌ای با شیب متوسط ۲۰ الی ۳۰ درصد، در منطقه برشی گسل کوشک و بر روی مصالح یک زمین‌لغزش قدمی واقع شده است. بستر سنگی روستا کنگلومرا و مارن همراه با لرزه‌های گچی است. در حدود یک سال پس از رخداد زلزله سال ۱۳۶۹ رودبار-منجیل، حرکات دامنه‌ای به صورت خزشی در محدوده روستای علی‌آباد شروع به فعالیت کرد. حرکات خزشی در دامنه روستای علی‌آباد پیرو کم آب شدن چشممه‌ها و قنات قدیمی روستا اتفاق افتاد. در دوره‌های تراسالی شدت حرکت در دامنه بیشتر شده و توأم با خسارت بوده است. هدف از انجام این مطالعه بررسی ارتباط زمین‌لغزش رخداده در محدوده روستا با فعالیت گسل کوشک است.

**روش پژوهش:** در این راستا، با بررسی نقشه‌های زمین‌شناختی، تصاویر ماهواره‌ای، شواهد به دست آمده از بازدیدهای میدانی و انجام مطالعات ژئوفیزیکی موقعیت گسل کوشک در محدوده روستای علی‌آباد ترسیم و تدقیق شد. دو چشمه و مادرچاه یک قنات قدیمی در امتداد گسل کوشک وجود دارد که پس از رخداد زلزله سال ۱۳۶۹ رودبار-منجیل کاهش آبدیهی داشته و یا خشک شده‌اند.

**یافته‌ها:** پیرو مطالعات انجام شده گسل دیگری در فاصله ۶۰۰ متری جنوب گسل کوشک و در دامنه‌های پایین دست روستا با سازوکار کنشی شناسایی شد. در امتداد این گسل نیز چشممه‌های متعددی وجود دارد که هم‌زمان با رخداد زلزله سال ۱۳۶۹ رودبار-منجیل دچار کاهش آبدیهی شده است.

**نتیجه‌گیری:** نتایج مطالعات ژئوکتریک اشباع بودن لایه‌های خاک دامنه تا عمق ۲۵ متری را نشان می‌دهد، این موضوع گویای این مطلب است که جنبایی گسل کوشک و گسل F2 (گسل شناسایی شده در دامنه‌های جنوبی روستا) هم‌زمان با رخداد زمین‌لغزش رودبار-منجیل موجب کاهش آبدیهی چشممه‌ها و متعاقباً اشباع دامنه شده است.

### کلیدواژه‌ها:

زمین‌لغزش،  
روستای علی‌آباد،  
گسل کوشک،  
الموت

استناد: اسگندرپور؛ محمد. (۱۴۰۳). بررسی تأثیر عملکرد گسل کوشک بر رخداد زمین‌لغزش در روستای علی‌آباد. *مسکن و محیط روستا*, ۴۳(۱۸۷)، ۱۶-۳.

<https://doi.org/10.22034/43.187.1>



© نویسنده‌گان.

ناشر: پژوهشکده سوانح طبیعی.

## مقدمه

زمین‌لغزش به عنوان یکی از مخاطرات اصلی طبیعی، هرساله از نظر هزینه‌های مستقیم و غیرمستقیم خسارت مالی زیادی را به همراه دارد. زمین‌لغزش‌ها که به عنوان حرکت توده سنگ، واریزه یا خاک به سمت پایین یک شیب تعریف می‌شوند (Cruden, 1991)، می‌توانند توسط انواع محرک‌های خارجی، مانند بارندگی شدید، تکان‌های زمین‌لرزه، تغییرات سطح آب زیرزمینی، امواج طوفان یا فرسایش جریانی (رودخانه یا مسیل) سریع ایجاد شوند، که باعث افزایش سریع تنفس برشی یا کاهش مقاومت برشی مواد شیب‌ساز می‌شود. علاوه بر این، با گسترش توسعه سکونتگاه‌ها به مناطق ناپایدار دامنه تپه‌ها تحت‌فشار افزایش جمعیت و شهرنشینی، فعالیت‌های انسانی مانند جنگل‌زدایی یا حفاری شیب‌ها برای بریدگی جاده‌ها و سایت‌های ساختمانی و غیره به حرک‌های مهمی برای وقوع زمین‌لغزش تبدیل شده‌اند.

رانش زمین باعث تلفات و خسارات اقتصادی هنگفتی در مناطق کوهستانی جهان می‌شود. در ایالات متحده، زمین‌لغزش باعث خسارات اقتصادی تخمینی ۱ تا ۲ میلیارد دلار و حدود ۲۵ تا ۵۰ مرگ در سال می‌شود، بنابراین از میانگین تلفات ناشی از زلزله بیشتر است (Schuster & Fleming, 1986). لی و وانگ<sup>۱</sup> (۱۹۹۲) به طور محافظه‌کارانه تخمین زدند که در چین تعداد مرگ‌ومیر ناشی از رانش زمین در طول دوره ۱۹۵۱–۱۹۸۹ به بیش از ۵۰۰۰ نفر رسیده است که به طور متوسط سالانه بیش از ۱۲۵ مرگ‌ومیر و خسارات اقتصادی سالانه حدود ۵۰۰ میلیون دلار آمریکا را به دنبال داشته است.

از عوامل مختلف تأثیرگذار بر وقوع زمین‌لغزش می‌توان به فعالیت‌های زمین‌ساختی مانند گسل‌ش اشاره کرد که با ایجاد سطوح ضعف در دامنه تپه‌ها و ارتفاعات به طور مستقیم و غیرمستقیم باعث کاهش مقاومت توده سنگ و خاک شده و منجر به حرکات دامنه در جهت جاذبه زمین می‌شوند. از این‌رو، در مناطق کوهستانی که تحت تأثیر گسل خوردگی شدید هستند، وقوع حرکات دامنه‌ای مانند زمین‌لغزش و سنگ افتان بسیار به چشم می‌خورد. منطقه الموت که در شمال شرق استان قزوین و در تقسیم‌بندی‌های ساختاری (زمین‌ساختی) در منطقه البرز واقع شده است از نظر زمین‌ساختی جزو مناطق فعال بوده و گسل‌های متعدد اصلی با سابقه لرزه‌خیزی و همچنین تعداد زیادی گسل فرعی که متأثر از فعالیت گسل‌های اصلی هستند در منطقه وجود دارد. زمین‌لغزش روستایی علی‌آباد یکی از ناپایداری‌های دامنه‌ای متعددی است که در زون برشی گسل کوشک با سازوکار فشاری رخ داده است. سؤال کلی پژوهش این است که آیا زمین‌لغزش روستایی علی‌آباد در محدوده فعالیت گسل کوشک رخ داده است؟ فعالیت گسل کوشک تأثیری در وقوع زمین‌لغزش در محدوده روستایی علی‌آباد داشته است؟

## پیشینه پژوهش

زمین‌لغزش‌های بزرگ به طور گسترده در کمربندهای کوه‌زایی و حواشی فلات با فعالیت تکتونیکی قوی پراکنده شده‌اند. در یک کمربند کوه‌زایی، شکل‌گیری، تکامل، ویژگی‌های ژئومورفیک و توزیع فضایی زمین‌لغزش‌های بزرگ ارتباط نزدیکی با فعالیت زمین‌ساختی منطقه‌ای و ساختارهای محلی دارد (Carlini et al., 2017; Cui et al., 2018). در مقیاس کوتاه‌مدت، فعالیت‌های تکتونیکی خشن، مانند زلزله‌های بزرگ، عامل اصلی ایجاد لغزش‌های بزرگ است (Owen et al., 2008). برای لغزش‌های کنترل شده توسط ساختار تکتونیکی، تأثیر چهارچوب زمین‌شناسی محلی توجه تحقیقات قابل توجهی را به خود جلب کرده است. هندسه فضایی برگوارگی‌های تکتونیکی<sup>۲</sup>، از جمله گسل‌ها، چین‌ها، درزه‌ها و ورقه شدگی و ناهمگونی سنگ‌شناسی، تأثیر عمیقی بر نوع، مکان و فراوانی زمین‌لغزش‌ها دارد (Gurum, 2018). تفاوت‌های زیادی در ماهیت این پدیده در مناطق مختلف وجود دارد (Margielewski, 2006). در مقایسه با ساختارهای معمول برگوارگی<sup>۳</sup>، احتمال وقوع زمین‌لغزش در اطراف ناحیه گسلی به دلیل برگوارگی شدیدتر و از دست دادن استحکام توده سنگ بیشتر است (Collettini et al., 2009). سندیر و یلماز<sup>۴</sup> (۲۰۰۲) نشان دادند که در ناحیه گسلی آناتولی شمالی، درزه‌ها و گسل‌ش، توپوگرافی پرشیب، برش‌های رودخانه و

1. Li & Wang
2. Tectonic foliations
3. foliation
4. Sendir & Yilmaz

بارندگی شدید تأثیرات مهمی بر وقوع زمین‌لغزش داشتند. بویس<sup>۵</sup> و همکاران (۲۰۰۸) نشان داد که مناطق گسلی به ارث رسیده در عمق نقش عمده‌ای در سیک الگوهای تغییر شکل گرانشی ایفا می‌کنند. دمیر<sup>۶</sup> (۲۰۱۹) از ArcGIS برای ارزیابی حساسیت ناحیه گسل آناطولی شمالی به زمین‌لغزش استفاده کرد و نتایج نشان داد که فاصله تا نهرها، جاده‌ها و گسل‌ها تعیین کننده وقوع و توزیع زمین‌لغزش است. ژانگ<sup>۷</sup> و همکاران (۲۰۱۸) از فناوری اینسار (INSAR) در ناحیه گسلی منطقه Zhouqu در چین برای شناسایی ۱۱ روانه گلی فعال، ۱۹ زمین‌لغزش فعال با نرخ تغییر شکل بیش از ۱۰۰ میلی‌متر در سال و ۲۰ ناپایداری جدید استفاده کرد. با این حال، نمونه‌هایی از تحلیل جامع پهنه‌های گسلی و زمین‌لغزش‌ها نسبتاً نادر هستند و رابطه بین پهنه‌های گسلی پیچیده و توسعه و تکامل زمین‌لغزش به طور کامل توضیح داده نشده است.

رجیبی و فیض‌اله پور (۲۰۱۴)، در مطالعه‌ای به پهنه‌بندی زمین‌لغزش‌های حوضه رودخانه گیوی‌چای پرداخت. در این مطالعه از داده‌های ۴۱ زمین‌لغزش رخ داده استفاده شد و فاصله از گسل به عنوان یکی از هشت فاکتور تأثیرگذار در مدل‌سازی و پیش‌بینی خطر زمین‌لغزش مورد استفاده قرار گرفت.

گسل‌ها در ایجاد و یا فعال‌سازی دوباره مناطق دارای پتانسیل لغزش نقش مؤثری دارند. خردشدنگی و برشی شدن در مناطق گسلی، نفوذ آب از این مناطق به درون دامنه‌ها، پیدایش ناپیوستگی در پیرامون گسل و اختلاف فرسایش در دامنه‌ها از جمله آثاری است که می‌توان به آن‌ها اشاره کرد. حرکت گسل نیز می‌تواند به نوعی شروع لغزش در دامنه باشد (Rakei et. al., 2007). همتی و همکاران (۲۰۱۹) با بررسی پراکندگی ناپایداری‌ها نسبت به گسل اصلی در منطقه بزقوش نشان می‌دهد بیشترین لغزش در فاصله ۳۶۰–۰ متری از گسل وجود دارد که ناشی از خردشدنگی سنگ‌ها توسط گسل است که این امر باعث نفوذ آب از این مناطق به داخل دامنه و بروز ناپیوستگی در اطراف گسل‌ها می‌شود.

برای عامل گسل آثار مختلفی را در بروز لغزش در دامنه‌ها می‌توان متصور شد. خردشدنگی و برشی شدن در مناطق گسلی، نفوذ آب از این مناطق به داخل دامنه‌ها، بروز ناپیوستگی در اطراف گسل‌ها و اختلاف فرسایش در دامنه‌ها از جمله آثاری است که می‌توان به آن‌ها اشاره کرد. حرکت گسل می‌تواند به نوعی شروع لغزش در دامنه باشد. بروز تعداد زیادی زمین‌لغزش بعد از زلزله، می‌تواند مؤید نقش آن در بروز زمین‌لغزش باشد. در حقیقت حرکت گسل‌ها موجب رسیدن به حد آستانه حرکت در دامنه‌ها می‌شود.

## روش‌شناسی پژوهش

روش تحقیق در پژوهش حاضر مبتنی بر مطالعات کتابخانه‌ای و مشاهدات و اندازه‌گیری‌های میدانی است. ابتدا جایگاه توپوگرافی محدوده مورد مطالعه، گسل کوشک و زمین‌لغزش‌های پیرامون آن و همچین زمین‌لغزش روستای علی‌آباد به طور جامع بر روی تصاویر ماهواره‌ای (Google Earth) مورد بررسی قرار گرفته و محدوده زمین‌لغزش و گسل بر روی تصویر ماهواره‌ای تفکیک و ترسیم شده است. با بررسی نقشه زمین‌شناسی ۱/۱۰۰۰۰۰ ورقه قزوین واحدهای چینه‌شناسی بستر و پیرامون روستا در دو سوی منطقه برشی گسل مشخص و در بازدید میدانی انجام‌شده مورد ارزیابی قرار گرفته است.

در مرحله بعد مطالعات ژئوفیزیکی به روش مقاومت الکتریکی با آرایه دایپل در محدوده منطقه لغزشی انجام شد. دو پروفیل در راستای عمود بر جهت لغزش جهت شناسایی حدود جانبی لغزش، عمق سنگ‌بستر و عمق سطح آب زیرزمینی یا کریدورهای جریان آب و یک پروفیل در جهت لغزش و عمود بر امتداد گسل کوشک جهت بررسی و شناسایی گسل کوشک طراحی و برداشت شد. اطلاعات محلی از سوابق شروع فعالیت زمین‌لغزش نیز به صورت محلی مورد بررسی قرار گرفت.

## یافته‌های پژوهش

### جایگاه زمین‌شناسی

منطقه مورد بررسی (دره الموت) که روستای علی‌آباد در آن واقع شده است بر مبنای تقسیم‌بندی پهنه‌های رسوی-ساختماری ایران (Nogole-sadat, 1993)، در بخش باختری سیستم تکتونیکی پیچیده البرز واقع شده است. این منطقه ساختماری تحت تأثیر

5. Bois

6. Demir

7. Zhang

همگرایی صفحه عربی و ایران قرار دارد. بر مبنای مطالعات شهیدی و همکاران (۲۰۱۱) سیستم تنش حداکثر در این منطقه (بخش باختری البرز) شمالی-جنوبی تا شمال خاوری-جنوب باختری بوده و کم و بیش عمود بر روند البرز است. این سیستم تراکمی یک کوتاه شدگی تقریبی شمال خاوری-جنوب باختری هماهنگ با بالا آمدگی البرز را تأیید می‌کند. ساختمان‌های زمین‌شناسی شامل شکستگی‌ها و چین‌خوردگی‌هایی است که به طور عمده دارای روند شمال باختری-جنوب خاوری بوده و از روند اصلی چین‌خوردگی البرز پیروی می‌نمایند.

شکستگی‌های موجود در منطقه عموماً دارای روند شمال باختری-جنوب خاوری و به طور عمده از نوع گسل‌های فشاری هستند. علاوه بر این شکستگی‌های دیگری نیز یافت می‌شود که از روند شمال خاور-جنوب باختر پیروی می‌نمایند. سیستم‌های چین‌خوردگی در منطقه به طور عمده از نوع چین‌های وابسته به گسل هستند.

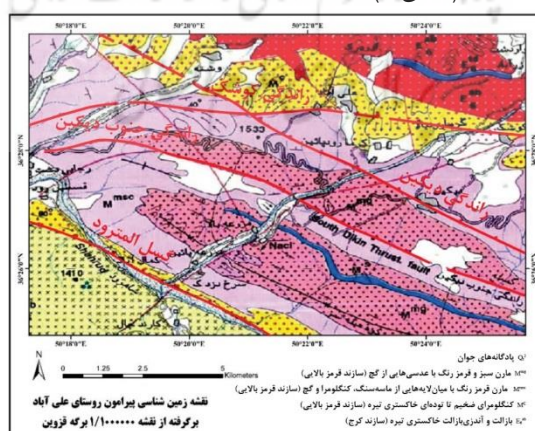
**گسل المتروود:** این گسل که همچنین گسل حسن‌آباد پاراچین نامیده شده است مهم‌ترین گسل منطقه است. راستای این گسل به موازات کرانه رودخانه جنوبی المتروود، NW-SE بوده، و شبیه آن به سمت جنوب است. در راستای این گسل، سازند ائوسن کرج در جنوب بر روی مارن‌های نئوژن در شمال رانده شده است (شکل ۱).

در پهنه گسل، تازه‌ترین آینه گسل‌ها دارای راستای N130E و زاویه فرود ۲۰ درجه به سمت شمال غرب است. گسل فشاری و جوان المتروود در رویداد زمین‌لرزه ۲۰ آوریل ۱۶۰۸ میلادی (Ms=7.6) روبارات - تالقان و زمین‌لرزه ۲۷ سپتامبر ۱۹۴۵ هریان و بداحتمال کمر در زمین‌لرزه ۱۶ دسامبر ۱۸۰۸ میلادی (Ms=5.9) تالقان نقشی داشته است. این گسل در فاصله ۵ کیلومتری جنوب غرب روستای علی‌آباد قرار دارد و به دلیل سابقه لرزه‌خیزی که دارد دارای اهمیت است.

گسل راندگی دیکین، گسل راندگی جنوب دیکین و گسل کوشک از دیگر گسل‌های منطقه موردمطالعه است که تاکنون هیچ زمین‌لرزه‌ای به این فعالیت این گسل‌ها نسبت داده نشده است.

**گسل راندگی دیکین:** این گسل راندگی با درازای ۲۰ کیلومتر از مجاورت روستای دیکین و وشه گذر کرده است. روند اصلی این گسل شمال باختری-جنوب خاوری بوده و شبیه به سوی شمال خاوری دارد. این گسل نهشته‌های نئوژن را تحت تأثیر قرار داده است (شکل ۱).

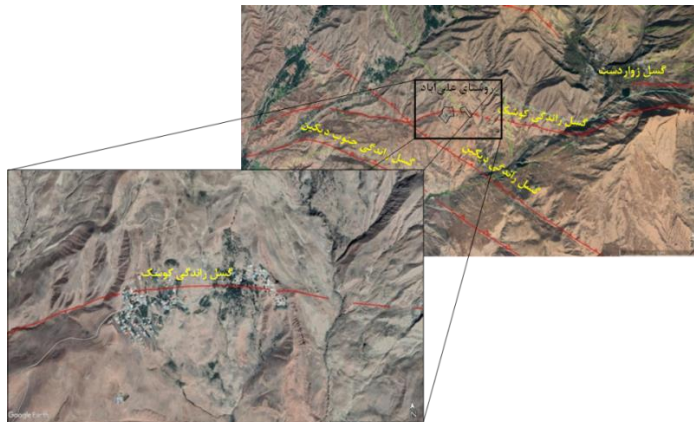
**گسل راندگی جنوب دیکین:** این گسل راندگی دارای راستای شمال باختری-جنوب خاوری بوده و شبیه آن به سوی شمال خاوری است. طول این گسل بالغ بر ۲۰ کیلومتر بوده و تقریباً به موازات گسل راندگی دیکین است. این گسل نیز نهشته‌های نئوژن را متاثر ساخته است و مارن‌های سبزرنگ حاوی لنزهای ژیپس را بر روی مارن‌های قرمزنگ با میان لایه‌های ماسه‌سنگ، کنگلومرا و ژیپس قرار داده است (شکل ۱).



شکل ۱. نقشه زمین‌شناسی محدوده موردمطالعه (منبع: Qazvin geological map(1:100000), Geological Survey & Mineral Exploration of Iran)

گسل کوشک در نقشه زمین‌شناسی ۱/۱۰۰۰۰۰ ورقه قزوین (اکال ۱ و ۲) یک گسل راندگی با امتداد تقریبی خاوری-باختری، درازایی بالغ بر ۱۶ کیلومتر و شبیه نزدیک به ۳۰ درجه به سمت شمال که بیشتر واحدهای کنگلومرا نئوژن را متاثر

ساخته معرفی شده است. بر مبنای نقشه زمین‌شناسی ورقه قزوین امتداد این گسل از محدوده بافت مسکونی روستای علی‌آباد گذر کرده و واحدهای کنگلومرایی و ماسه‌سنگی میوسن را بر روی واحدهای مارنی با میان لایه‌های ماسه‌سنگی و کنگلومرایی به سن میوسن رانده است. زمین‌لغزش‌های زیادی در امتداد این گسل رخ داده است که به‌وضوح بر روی تصاویر ماهواره‌ای و بازدیدهای میدانی قابل مشاهده است (شکل ۳).



شکل ۲. موقعیت گسل‌های منطقه مورد مطالعه بر مبنای نقشه زمین‌شناسی ۱/۱۰۰۰۰۰ برقه قزوین منطبق شده بر روی تصویر ماهواره‌ای (Google Earth)



شکل ۳. موقعیت زمین‌لغزش‌های رخداده در امتداد گسل کوشک بر روی تصویر برگرفته از Google Earth

در بررسی‌های میدانی انجام‌شده در دامنه‌های شرقی و غربی پیرامون روستای علی‌آباد جدایش‌هایی در واحدهای نتوژن و کواترنری مشاهده می‌شود که احتمالاً مرتبط با فعالیت دو گسل موازی با امتداد شرقی-غربی با سازوکار متفاوت است. گسل F1 که در شمال بافت مسکونی روستای علی‌آباد قرار دارد دارای سازوکار راندگی بوده و واحدهای مارنی و رسوبات واریزهای را بر روی واحدهای کنگلومرایی قرار داده است (شکل ۴). در امتداد این گسل دو چشممه در بالادست روستا مشاهده می‌شود (شکل ۵). همچنین مادرچاه یک رشته قنات به طول ۵۰ متر نیز در امتداد گسل وجود دارد (شکل ۶). گسل F1 همچنین مرز شمالی رخنمون‌هایی از گچ را که از میان لایه‌های سازند قرمز بالایی است در بخش میانی روستا و همچنین مرز شمالی رخنمون واحد کنگلومرایی در بخش شرقی روستا را نیز مشخص می‌کند (شکل ۵). گسل F1 انطباق خوبی با گسل کوشک دارد. جهت بررسی گسل F1 در محدوده روستای علی‌آباد مطالعات ژئوکتریک با آرایه دوقطبی-دوقطبی در امتداد پروفیلی به طول ۷۰۰ متر و عمود بر درازای گسل انجام شد و در این پروفیل، مقطع گسل با تغییر شیب در توپوگرافی سنگبستر و ناپیوستگی مقاومت ویژه الکتریکی قابل شناسایی و اندازه‌گیری است (شکل ۲۰).

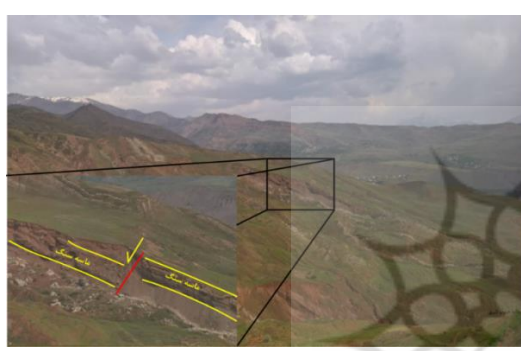
گسل F2 در فاصله ۷۰۰ متری جنوب گسل F1 در دامنه‌های پایین‌دست بافت مسکونی روستا قرار دارد واحدهای کنگلومرایی، ماسه‌سنگی و مارنی مرتبط با سازند قرمز بالایی را تحت تأثیر قرار داده است (اشکال ۷، ۸ و ۱۰). با توجه به جدایش‌هایی که در واحدهای کنگلومرایی و ماسه‌سنگی در جنوب شرق و شرق روستای علی‌آباد مشاهده می‌شود، و شیب زیاد این گسل احتمالاً دارای سازوکار عادی است. در امتداد این گسل نیز چشممه‌های متعددی مشاهده می‌شود (شکل ۸).



شکل ۵. بالا: موقعیت چشمه‌ها و قنات قدیمی روستا نسبت به گسل کوشک بر روی تصویر برجسته از Google Earth  
پایین: تصویر زمینی از موقعیت مادر چاه قنات قدیمی روستا، ج: تصویر زمینی از موقعیت چشمه‌ای در جنوب امتداد اثر گسل کوشک



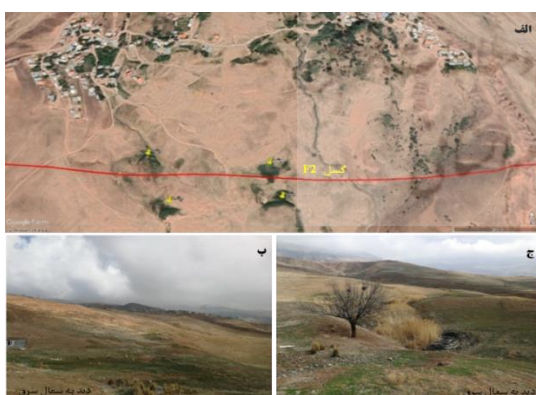
شکل ۴. رانده شدن واحدهای کوارنتری بر روی واحدهای کنگلومرایی مربوط به سازند قرمز بالایی در شمال شرق روستای علی‌آباد (دید به غرب)



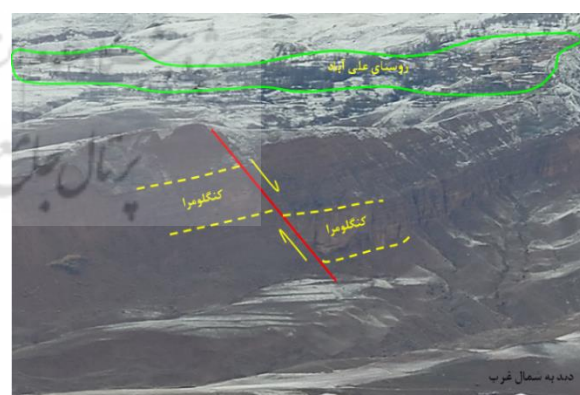
شکل ۷. جدایش شاقولی لایه ماسه‌سنگی در امتداد گسلی با امتداد شرقی-غربی، قطعه شمالی نسبت به قطعه جنوبی پایین افتادگی ظاهری دارد. با توجه به شبیب به سمت جنوب شرق لایه ماسه‌سنگی این جدایش ظاهری می‌تواند با عملکرد یک گسل امتدادلغز با سازوکار راست‌گرد ایجاد شود



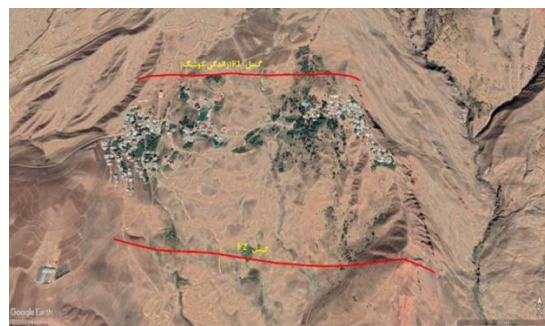
شکل ۶. موقعیت تدقیق شده گسل کوشک با توجه به نتایج مطالعات ژئوکتریک، رخنمون گسل در بخش شمال شرقی روستا، واحدهای چینه‌شناسی و موقعیت چشمه‌ها



شکل ۹. الف: موقعیت چشمه‌ها در امتداد گسل F2 که با سازوکار ظاهری کششی که دامنه‌های جنوبی بافت مسکونی روستا را تحت تأثیر قرار داده است، ب و ج: تصاویر زمینی تهیه شده از موقعیت چشمه‌های دامنه‌های پایین دست روستا



شکل ۸. جدایش شاقولی لایه کنگلومرایی در امتداد گسلی با امتداد شرقی-غربی، قطعه شمالی نسبت به قطعه جنوبی پایین افتادگی ظاهری دارد



شکل ۱۰. موقعیت گسل F1 (کوشک) و F2 نسبت به بافت مسکونی روستای علی‌آباد و زمین‌لغزش رخداده بر روی تصویر بوگرفته از Google Earth

#### چینه‌شناسی محدوده مورد مطالعه

واحدهای چینه‌شناسی محدوده مطالعاتی مربوط به سازند قرمز بالایی به سن میوسن و واحدهای ولکانیکی به سن انوسن است: E<sub>6</sub>: جنس این واحدها بیشتر از گدازهای آتشفشاری تیره تا خاکستری با ترکیب الیوین بازالت و آنزیت بازالت است که با گسترش و س্টبرای نسبتاً خوب بین ۵۰۰ تا ۲۰۰۰ متر در فاصله اندکی از شمال روستا با مرزی گسلی با واحدهای قرمز بالایی رخمنون دارد.

Mc: این واحد با گسترش و س্টبرای خوب در اطراف روستاهای معلم کلایه، علی‌آباد، وشه، حسن‌آباد و در امتداد رودخانه شاهرود قابل‌رؤیت است. ترکیب اصلی این واحد شامل کنگلومرا ضخیم تا توده‌ای خاکستری رنگ با سخت شدگی خوب و قطعات کوچک و بزرگ ولکانیک با ترکیب‌های متفاوت و سیمانی ولکانیکی با جورشدگی و گرد شدگی ضعیف تا متوسط همراه با لایه‌هایی از ماسه‌سنگ‌های خاکستری تا قرمز دانه‌متوسط است. س্টبرای این کنگلومرا در اطراف رودخانه شاهرود از ۲۰ تا ۱۰۰ متر در نوسان است. همبری زیرین این واحد با سنگ‌های انوسن به‌طور کامل گسله و بریده است و خود توسط مارن‌های واحد M<sup>msc</sup> به‌طور هم‌شیب پوشیده می‌شود (شکل ۱۱ الف و ب).

M<sup>msc</sup>: نهشته‌های این واحد با بیشترین گسترش و سبک در اطراف روستاهای معلم کلایه، کوشک، دیکین، گرمارود، محمدآباد و مزرعه پایین از تناوب مارن‌های قرمزنگ با بین لایه‌هایی از ماسه‌سنگ خاکستری رنگ سیمان، کنگلومرا با جورشدگی و گرد شدگی به نسبت خوب و تیغک‌ها و لایه‌هایی از گچ با لایه‌بندی نازک تا متوسط تشکیل شده است. شیب لایه‌ها متغیر و از ۳۰ تا ۷۰ درجه در نوسان است. مورفولوژی این واحد بیشتر به صورت تپه‌ماهور بوده و چین‌خوردگی در این مارن‌ها باعث پدید آمدن ناویدیس و تاقدیس‌هایی در این واحد شده است. این نهشته‌های مارنی به‌طور هم‌شیب در روی کنگلومرا (m<sup>c</sup>) قرار می‌گیرد (شکل ۱۱ ج و د).



شکل ۱۱. واحدهای چینه‌شناسی رخمنون یافته در پیرامون روستای علی‌آباد. الف و ب: واحد کنگلومرا ای در بستر بافت مسکونی بخش شرقی و شمال غربی روستا، ج: واحدهای گلسنگی در مجاورت واحد کنگلومرا ای در بخش شرقی روستا، د: واحد گچی در بخش‌های میانی و شمالی روستا

## زمین‌لغزش روستای علی‌آباد

با استناد به بررسی تصاویر ماهواره‌ای برگرفته از Google Earth و بازدیدهای میدانی، مورفولوژی دامنه‌ای که روستای علی‌آباد بر روی آن واقع شده است یک زمین‌لغزش قدیمی را نشان می‌دهد که در جهت شیب توپوگرافی و به سمت جنوب رخ داده است. در زمان تشکیل روستای علی‌آباد بر روی مصالح زمین‌لغزش قدیمی، شیب توپوگرافی به دلیل رخداد زمین‌لغزش تعديل شده و شرایط پایداری را داشته است. زمین‌لغزش به شکل یک لوزی نامتقارن است که قطر طویل آن راستای شمالی-جنوبی دارد و اصلاح جنوبی آن نسبت به اصلاح شمالی کوتاه‌تر است (شکل ۱۲). عوامل مؤثر بر رخداد زمین‌لغزش روستای علی‌آباد: ۱- واحدهای سنگی تشکیل‌دهنده دامنه در محدوده زمین‌لغزش مربوط به سازند قرمز بالایی (Upper Red Formation) با توالی مارن‌های قرمزنگ، ماسه‌سنگ، کنگلومرا و رگه‌های گچ است. این واحدها در صورت داشتن شیب توپوگرافی مناسب و رطوبت کافی پتانسیل بالایی برای رخداد حرکات دامنه‌ای دارند. با توجه به تعداد قابل توجه زمین‌لغزش‌های رخ داده در منطقه تحت پوشش این واحد سنگی در منطقه و با در نظر گرفتن شیب توپوگرافی بالای ۳۰ درصد و متوسط بارندگی بیش از ۴۰۰ میلی‌متر در سال می‌تواند دلیل اصلی رخداد زمین‌لغزش در محدوده مورد مطالعه باشد. ۲- مرز گسلی بخش مارنی و ماسه‌سنگی با بخش کنگلومرایی سازند سرخ بالایی نیز می‌تواند ضمن ایجاد کریدورهایی برای رگه‌های آب و اشباع کردن مصالح دامنه سطوح ضعفی را برای شروع زمین‌لغزش ایجاد کند. قرارگیری چشممه‌ها و مادر چاه قنات قدیمی روستا در امتداد مرز گسلی یادشده تأیید کننده جریان رگه‌های آب در این امتداد است (شکل ۵). ۳- با توجه به بررسی‌های انجام‌شده در محدوده شرقی زمین‌لغزش، شیب لایه‌بندی به سمت جنوب غرب بوده و با کمی انحراف با جهت زمین‌لغزش همخوانی دارد. رخداد زمین‌لغزش می‌تواند مرتبط با جنس مصالح تشکیل‌دهنده دامنه، شیب توپوگرافی، فعالیت گسل کوشک و یا لرزش زمین به هنگام وقوع زلزله و یا دو یا چند مورد از موارد ذکر شده باشد. آنچه مسلم است در زمان تشکیل و توسعه روستا زمین‌لغزش حالت پایدار داشته و فعالیت ملموسی نداشته است.



شکل ۱۲. محدوده زمین‌لغزش روستای علی‌آباد شامل زمین‌لغزش قدیمی و جدید بر روی تصویر برگرفته از Google Earth

## دلایل فعل شدن دوباره زمین‌لغزش در روستای علی‌آباد

روستا بر روی واحدهای سنگی مسئله‌دار شامل: مارن‌های قرمزنگ با میان لایه‌هایی از ماسه‌سنگ، کنگلومرا و ژپس قرار گرفته است و علاوه بر آن روستای علی‌آباد و پیرامون آن در محدوده عملکرد گسل کوشک با سازوکار راندگی که شیب به سمت شمال دارد واقع شده است. همین دو عامل وجود بارش باران کافی برای رخداد زمین‌لغزش در یک دامنه با شیب ملائم کفايت می‌کند.

در دامنه بالادست روستا محدوده‌ای با مساحت بالغ بر یک هکتار وجود دارد که نسبت به پیرامونش ارتفاع پست‌تری دارد (شکل ۱۳) آب حاصل از بارندگی در فصول بارانی در این محدوده جمع می‌شود و ساکنین روستا از آن برای آبیاری زمین‌های کشاورزی دامنه‌های بالادست روستا استفاده می‌کنند. با توجه به جنس واحدهای بستر روستا و دامنه‌های بالادست، این آب می‌تواند به مرور به این واحدها نفوذ کرده و موجبات ناپایداری را فراهم آورد.



شکل ۱۳. آبگیر فصلی بالادست روستای علی‌آباد بر روی تصویر برگرفته از Google Earth و تصویر میدانی تهیه شده از منطقه در محدوده دامنه بالادست روستا در امتداد محدوده برشی گسل کوشک دو چشمه و یک رشته قنات قدمی وجود دارد. چشمه‌ها و قنات یادشده آبدهی زیادی نداشتند و بیشتر برای آب دادن دام از آن‌ها استفاده می‌شدند است. با این حال همان آبدهی کم به تدریج آب دامنه را زهکش می‌کرده است. پس از رخداد زلزله سال ۱۳۶۹ روبار-منجیل قنات روستا تقریباً کور شده و آبدهی چشمه‌ها نیز کاهش قابل توجهی داشته است. همان‌طور که گفته شد چشمه‌ها و قنات یادشده آب موجود در دامنه روستا را زهکش می‌کرده‌اند و با توجه به انسداد مجاری زهکشی دامنه، در سال‌های پس از زلزله ۱۳۶۹ روبار-منجیل، این اتفاق نیفتاده و به مرور موجب اشیاع و ناپایداری دامنه شده است. زمین‌لغزش روستای علی‌آباد یک سال از پس زلزله ۱۳۶۹ روبار-منجیل به صورت خزشی شروع به فعالیت کرده است. پس از بارندگی‌های رخداده در زمستان ۱۳۹۷ و بهار ۱۳۹۸ فعالیت زمین‌لغزش بیشتر شده و خساراتی را به واحدهای مسکونی و زیرساخت‌های روستا از قبیل معابر و خطوط انتقال برق، شبکه آبرسانی و باغات روستا وارد کرده است (اشکال ۱۴، ۱۵ و ۱۶).



شکل ۱۴. آثار گسیختگی حاشیه غربی زمین‌لغزش به جاده ارتباطی روستای اویرک



شکل ۱۵. شکاف‌های ایجاد شده در دیوار واحدهای مسکونی در بخش‌های شرقی و غربی روستای علی‌آباد و خارج شدن دهانه چاه از شکل دایره به بیضی در بخش غربی روستا



شکل ۱۶. زمین‌لغزش‌های رخداده در دامنه مجاور بخش شرقی و بین دو بخش روستا که در بارندگی‌های سال ۱۳۹۸ رخداده است و منجر به روانه گلی شده است. فلاش‌های زردرنگ ترک‌های کششی ایجادشده در اثر زمین‌لغزش را نشان می‌دهد

انجام مطالعات ژئوالکتریکی جهت بررسی عمق سنگ کف، سطح لغزش، سطح آب زیرزمینی و شناسایی گسل کوشک در این روش مقاومت ویژه الکتریکی زمین از طریق وارد نمودن جریان الکتریکی مستقیم به داخل آن و تعیین پتانسیل الکتریکی تولیدشده در سطح، اندازه‌گیری می‌شود. با استفاده از این روش، خصوصیات الکتریکی زمین و بهتی آن ویژگی‌های زمین‌شناسی منطقه قابل استنباط است. این روش در سطح وسیعی در اکتشاف منابع آب زیرزمینی، بررسی انواع آلودگی‌های آب‌های زیرزمینی، آشکارسازی محل حفره‌های زیرسطحی، مطالعات زمین‌لغزش‌ها، شناسایی گسل‌ها، بررسی مناطق خردشده، مسائل مهندسی و ... مورد استفاده قرار می‌گیرد.

عملیات ژئوالکتریک و برداشت داده‌ها در محدوده روستای علی‌آباد در اردیبهشت‌ماه سال ۱۴۰۲ صورت پذیرفت. درمجموع سه پروفیل (AL2 و AL3 و AL1) در محدوده مورد برداشت قرار گرفتند (شکل ۱۷). موقعیت پروفیل‌های برداشت شده بر روی تصویر برگرفته از Google Earth را نشان می‌دهند. داده‌ها با استفاده از آرایش دوقطبی-وقطبی با کمترین فاصله الکترودی ۱۰ متر به ازای گام‌های جدايش مختلف مورد برداشت قرار گرفتند. پروفیل‌های AL1 و AL2 برای شناسایی ابعاد و مشخصات زمین‌لغزش و پروفیل AL3 برای شناسایی گسل کوشک مورد اندازه‌گیری قرار گرفتند. نتایج بدست آمده با عوارض سطحی موجود تطبیق داده شده است. مشخصات مربوط به هر یک از پروفیل‌ها در جدول ۱ ارائه شده است.

جدول ۱. مشخصات مربوط به پروفیل‌های برداشت شده در محدوده مورد مطالعه

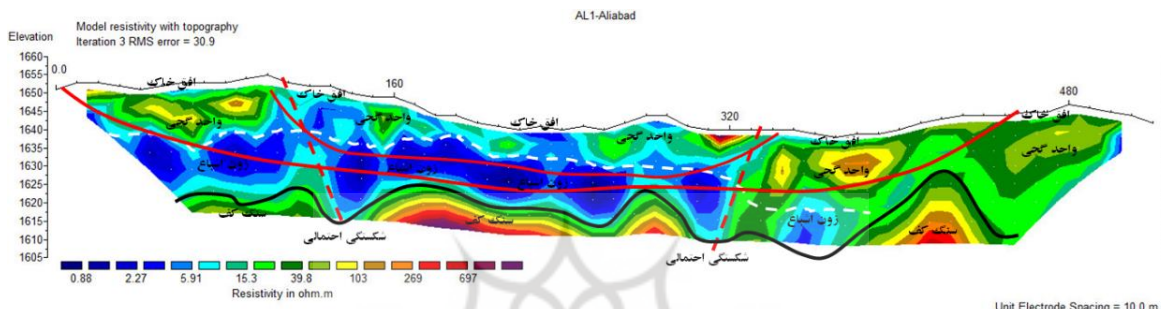
نام پروفیل	طول پروفیل (متر)	کمترین فاصله الکترودی (a)	بیشترین گام جدايش (n)	تعداد نقاط برداشت شده
AL1	۵۲۰	۱۰	۱۲	۵۳۴
AL2	۷۰۰	۱۰	۱۲	۷۵۰
AL3	۷۳۰	۱۰	۱۲	۷۸۶



شکل ۱۸. موقعیت تقریبی قرارگیری پروفیل‌های برداشت شده بر روی تصویر برگرفته از GoogleEarth در محدوده مورد مطالعه روستای علی‌آباد

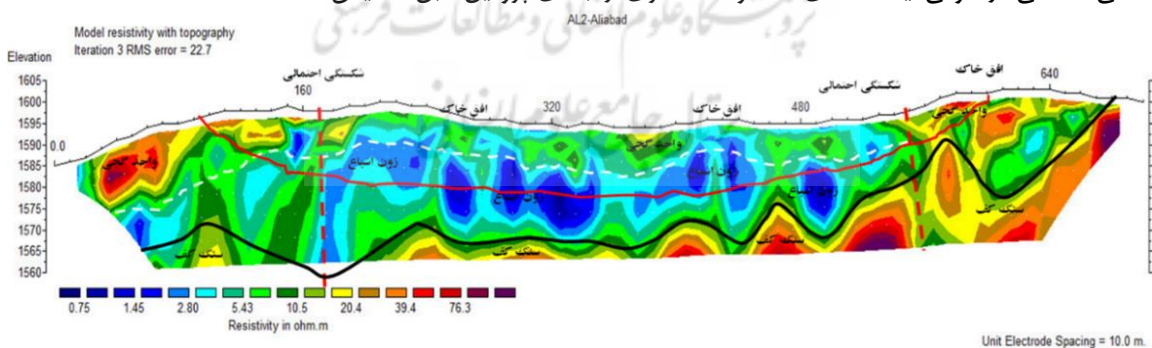
**پروفیل AL1:** نتایج حاصل از معکوس‌سازی داده‌های مقاومت ویژه الکتریکی مربوط به پروفیل AL1 به همراه تفسیرهای

انجام شده در (شکل ۱۸) ارائه شده است. با توجه به نتایج حاصل از مدل به دست آمده مقادیر مقاومت ویژه در لایه‌های بالایی متأثر از افق‌های خاک محدوده، پایین است که در آن وجود واحد گچی در بخش‌های مختلف سبب افزایش مقاومت ویژه نسبت به بخش دربرگیرنده آن شده است. در اینجا سطح تقریبی آب‌های زیرزمینی با استفاده از خط‌چین سفیدرنگ مشخص شده است. در حدود ۱۵ متری بالا دست بین ایستگاه ۱۷۰ و ۱۸۰ از ابتدای پروفیل مظہر قنات قدیمی روستا وجود دارد که در این قسمت جاری شدن و نفوذ آب‌های سطحی سبب کاهش مقادیر مقاومت ویژه نسبت به محیط اطراف آن شده است. همچنین واحد سنگ کف احتمالی محدوده که با روند افزایشی مقادیر مقاومت ویژه تفکیک گشته است با استفاده خط ممتد سیاهرنگ به صورت تقریبی نمایش داده شده است. در اینجا دو سطح لغزش احتمالی و توده حرکتی مرتبط با آن با استفاده از خطوط ممتد قرمزنگ به تصویر درآمده‌اند. درنهایت با توجه به روند تغییرات در مدل به دست آمده، دو شکستگی احتمالی در حوالی ایستگاه‌های ۱۳۰ و ۳۳۰ متری از ابتدای پروفیل قابل تشخیص است که حرکت در مابین این دو شکستگی سریع‌تر اتفاق افتاده است.



شکل ۱۸. چگونگی به نمایش درآمدن عوارض زیرسطحی بر اساس مدل مقاومت ویژه الکتریکی مربوط به پروفیل AL1

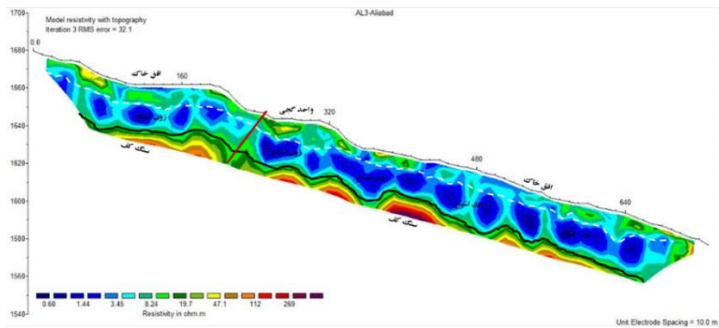
**پروفیل 2 AL2:** نتایج حاصل از معکوس‌سازی داده‌های مقاومت ویژه الکتریکی مربوط به پروفیل 2 AL2 به همراه تفسیرهای انجام شده در شکل ۱۹ ارائه شده است. روند تقریباً مشابهی به لحاظ تغییرات مقادیر مقاومت ویژه همانند پروفیل 1 وجود دارد. در اینجا نیز وجود واحد گچی باعث افزایش مقادیر مقاومت ویژه شده است. همچنین در بخش انتهایی پروفیل مشابه آنچه در پروفیل قبلی نیز قابل مشاهده است، مقادیر مقاومت ویژه نسبت به بخش‌های ابتدایی و میانی پروفیل افزایش نشان داده است. سطح آب احتمالی با خط‌چین سفیدرنگ و مرز سنگ کف احتمالی با خط ممتد مشکی‌رنگ مشخص شده است. همچنین سطح لغزش احتمالی با خط ممتد قرمزنگ متمایز گشته است. در این پروفیل نیز همانند پروفیل AL1 و در راستای تقریبی آن دو شکستگی احتمالی در حوالی ایستگاه‌های ۱۷۰ و ۵۵۰ متری از ابتدای پروفیل قابل تشخیص است.



شکل ۱۹. چگونگی به نمایش درآمدن عوارض زیرسطحی بر اساس مدل مقاومت ویژه الکتریکی مربوط به پروفیل AL2

**پروفیل 3 AL3:** نتایج حاصل از معکوس‌سازی داده‌های مقاومت ویژه الکتریکی مربوط به پروفیل 3 AL3 به همراه تفسیرهای انجام شده در (شکل ۲۰) ارائه شده است. روند کلی تغییرات مقادیر مقاومت ویژه در این پروفیل نیز مشابه پروفیل 1 و 2 AL2 است. افق‌های خاک محدوده با مقاومت ویژه پایین نمایان است که در آن گاهاً وجود واحد گچی سبب افزایش مقادیر مقاومت ویژه شده است. در اینجا نیز سطح آب احتمالی (خط‌چین سفیدرنگ) و شروع عمق سنگ کف احتمالی (خط ممتد مشکی‌رنگ) و درنهایت سطح لغزش احتمالی (خط ممتد قرمزنگ) مشخص گردیده‌اند که در آن سطح آب احتمالی از شیب توپوگرافی محدوده

پیروی نموده است. محل تغییر شیب توپوگرافی سنگبستر و متعاقباً توپوگرافی سطح دامنه که با تغییرات مقاومت ویژه الکتریکی در لایه‌های خاک پوشاننده نیز همراه بوده است به عنوان گسیختگی احتمالی مرتبط با گسل کوشک در نظر گرفته شده است.



شکل ۲۰. چگونگی به نمایش درآمدن عوارض زیرسطحی بر اساس مدل مقاومت ویژه الکتریکی مربوط به پروفیل AL3

### نتیجه‌گیری

طبق نقشه زمین‌شناسی ۱/۱۰۰۰۰۰ برگه قزوین، گسل کوشک از میانه روستای علی‌آباد می‌گذرد و واحدهای کنگلومرا (M<sup>c</sup>) را بر روی واحدهای متتشکل از توالی مارن، کنگلومرا و ماسه‌سنگ با میان لایه‌هایی از گج (M<sup>msc</sup>) می‌راند. در بازدیدهای میدانی انجام‌شده گسیختگی گسل کوشک به طور مستقیم با رانده شدن رسوبات واریزه‌ای کواترنری بر روی واحد کنگلومرا (ی) در محدوده شمال غربی روستا و آرایش قرارگیری چشمها و قنات قدیمی روستا، قطع شدگی ناگهانی لایه کنگلومرا (ی) در شمال شرقی بافت مسکونی روستای علی‌آباد و مرز شمالی رخمنون‌های گچی قابل ردیابی بوده و در فاصله تقریبی ۲۰۰ متری شمال آنچه بر روی نقشه زمین‌شناسی ترسیم شده، برآورد می‌شود. نتایج مطالعات ژئالکتریکی نیز تأیید‌کننده شواهد صحراوی است. رد گسل در پروفیل ژئالکتریکی AL3 با تغییر شیب توپوگرافی سنگبستر قابل بررسی است (شکل ۲۰). گسل یادشده از میانه زمین‌لغزش قدیمی و از محل تاج زمین‌لغزش جدید روستای علی‌آباد می‌گذرد. در این امتداد ترک‌های کششی متعددی مشاهده می‌شود که نشان از فعل بودن زمین‌لغزش و حرکت دامنه در جهت شیب توپوگرافی در زمان انجام بررسی‌های میدانی دارد (ashkal ۱۴ و ۱۶). زمین‌لغزش باعث آسیب‌دیدگی کلی و جزئی واحدهای مسکونی، کج شدن تیرهای برق، فرونشست معبر اصلی روستا، تغییر شکل مقطع چاهها و ... شده است (ashkal ۱۴ و ۱۵). در فاصله ۶۰۰ متری جنوب امتداد گسل کوشک، گسل دیگری هم امتداد با گسل کوشک با سازوکاری متفاوت از گسل کوشک و شیب به سوی شمال شناسایی شد. در امتداد گسل شناسایی شده (F2) که سازوکار ظاهری کششی دارد و بلوك شمالی در امتداد آن پایین افتاده است نیز چشمها (ی) متعددی وجود دارد که آبدھی آن‌ها از چشمها (ی) واقع در امتداد گسل کوشک بیشتر است (شکل ۹). در پرتگاهی که در بخش شرقی محدوده موردمطالعه وجود دارد جدایش شاقولی لایه کنگلومرا (ی) قابل مشاهده و اندازه‌گیری است (ashkal ۷ و ۸). آبدھی چشمها، هم در امتداد گسل کوشک و هم در امتداد گسل کوشک شناسایی شده در دامنه‌های جنوبی روستا پس از رخداد زمین‌لغزش سال ۱۳۶۹ روبار-منجیل کاهش پیدا کرده است و قنات قدیمی روستا نیز خشک شده است. با توجه به اینکه شروع فعالیت زمین‌لغزش کنونی در سال‌های پس از رخداد زمین‌لغزش ۱۳۶۹ روبار-منجیل بوده است، می‌توان چنین نتیجه گرفت که رخداد زلزله روبار-منجیل و تکان‌های زمین در زمان وقوع زلزله منجر به حرکاتی در امتداد گسل‌های محدوده روستای علی‌آباد شده است. حرکت لایه‌های زمین در امتداد این گسل‌ها منجر به مسدود و یا محدود شدن مجرای خروجی چشمها شده و آب موجود در دامنه به خوبی زه کشی نشده است. اشباع دامنه در سال‌های پس از رویداد سال ۱۳۶۹ در دوره‌های خشکسالی با حرکات خزشی و در دوره‌های تراسالی با حرکات لغزشی سریع همراه بوده است.

با توجه به تدقیق موقعیت گسل کوشک و شناسایی گسلی دیگر به ترتیب در محدوده بالادست و پایین‌دست بافت مسکونی روستای علی‌آباد بر مبنای شواهد میدانی، تصاویر ماهواره‌ای و مطالعات ژئالکتریکی انجام شده و کاهش قابل توجه میزان آبدھی چشمها و قنات قدیمی روستا پس از رخداد زلزله سال ۱۳۶۹ روبار-منجیل که در منطقه برشی گسل‌های یادشده قرار دارند. به‌احتمال زیاد گسل‌های موجود در محدوده پیرامونی روستا بر اثر لزش زمین حرکت‌های جزئی داشته‌اند که باعث انسداد و یا

تنگی مجاری زه کشی دامنه در امتداد این گسل‌ها شده است. این موضوع باعث اشباع، افزایش فشار آب منفذی و ناپایداری دامنه شده است. راهکار عملی برای تثبیت ناپایداری دامنه روستای علی‌آباد احیای قنات قدیمی روستا و اجرای زهکش‌های عمقی عمود بر امتداد گسل کوشک و گسل پایین‌دست روستا (F2) است تا با تخلیه آب دامنه مانع از اشباع و ناپایداری آن شود.

### تشکر و قدردانی

بدین‌وسیله از پژوهشکده سوانح طبیعی که امکان و شرایط بازدید از محدوده مورد مطالعه را فراهم کردند، شورای روستای علی‌آباد که اطلاعات محلی و سنت‌گذشته مربوط به زمین‌لغزش روستا را در اختیار اینجانب قرار دادند و همکاران پژوهشکده که در انجام این پژوهش مساعدت و همکاری نمودند، صمیمانه تشکر می‌نماییم.



## References

- Berberian, M., Ghorashi, M., Arzhangravesh, B., Mohajer-Ashjai, A., 1993, Seismotectonic and Earthquake-Fault hazard investigations in the greater Qazvin region. Report No. 61 of the Iranian Geological and Mineral Exploration Organization. (In Persian)
- Bois, T., Bouissou, S., Guglielmi, Y. (2008). deformation: a two-dimensional physical modelling of the La Clapière area (Southern French Alps). *Earth & Planetary Science Letters* 272, 709–719.
- Carlini, M., Chelli, A., Francese, R., Giacomelli, S., Giorgi, M., Quagliarini, A., Carpina, A., Tellini, C., 2017. Landslides types controlled by tectonics-induced evolution of valley slopes (Northern Apennines, Italy). *Landslides* 4, 1–14.
- Collettini, C., Niemeijer, A., Viti, C., Marone, C., 2009. Fault zone fabric and fault weakness. *Nature* 462, 907–910.
- Cruden, D.M., 1991. A simple definition of a landslide. *Bulletin of the International Association of Engineering Geology* 43, 27–29.
- Cui, S., Pei, X., Huang, R., 2018. Effects of geological and tectonic characteristics on the earthquake-triggered Daguangbao landslide, China. *Landslides* 15, 649–667.
- Demir, G., 2019. GIS-based landslide susceptibility mapping for a part of the North Anatolian Fault Zone between Readiye and Koyulhisar (Turkey). *Catena* 183, 1–12.
- Hemmati, F., Mokhtari, D., Roostaei, S., Zamani Qara Chamani, B., (2019), "Determining the sensitivity of occurrence of slope instabilities around Banarvan fault using logistic regression model", *Journal of Geographical Space*, 65: 151-169. (In Persian)
- Qazvin geological map(1:100000), Geological Survey & Mineral Exploration of Iran. (In Persian)
- Görüm, T., 2018. Tectonic, topographic and rock-type influences on large landslides at the northern margin of the Anatolian Plateau. *Landslides* 16, 333–346.
- Li, T., Wang, S., 1992. Landslide Hazards and their Mitigation in China. Science Press, Beijing, 84 pp.
- Margielewski,W., 2006. Structural control and types of movements of rockmass in anisotropic rocks: Case studies in the Polish Flysch Carpathians. *Geomorphology* 77, 47–68.
- Nogole-sadat, M.A.A., 1993, Division of Iran's sedimentary-structural zones. (In Persian)
- Owen, L.A., Kamp, U., Khattak, G.A., Harp, E.L., Keefer, D.K., Bauer, M.A., 2008. Landslides triggered by the 8 October 2005 Kashmir earthquake. *Geomorphology* 94, 1–9.
- Rakei, B., Khamechian, M., Abdolmaleki, P., Giahchi, P., 2007, Application of Artificial Neural Network for Landslide Hazard Zonation, Case Study: Sefidar-Goleh Area in Semnan Province. *Journal of Science of the University of Tehran*, Volume 33 (2007), Number 1(57-64). (In Persian)
- Rajabi, M., Faizullahpour, M., (۱۴۰۱). "Landslide zoning of Givi Chay river basin using multilayer perceptron model of feedstock after diffusion (Bp)", *Geography and Development*, 36: 161-180. (In Persian)
- Schuster, R.L., Fleming, R.W., 1986. Economic losses and fatalities due to landslides. *Bulletin of the Association of Engineering Geologists* 23 (1), 11–28.
- Shahidi, A.R., Brunet, M. F., Barrier, E., Saeedi, A., 2011, Tectonic Evolution of the Alborz in Mesozoic and Cenozoic. *Scientific Quarterly Journal (GSI)*, Vol. 21, N° 81: 201-216. (In Persian)
- Sendir, H., Yilmaz, I., 2002. Structural, geomorphological and geomechanical aspects of the Koyulhisar landslides in the North Anatolian Fault Zone (Sivas, Turkey). *Environ. Geol.* 42, 52–60.
- Zhang, Y., Meng, X., Jordan, C., Novellino, A., Dijkstra, T., Chen, G., 2018. Investigating slow-moving landslides in the Zhouqu region of China using InSAR time series. *Landslides* 15, 1299–1315.